

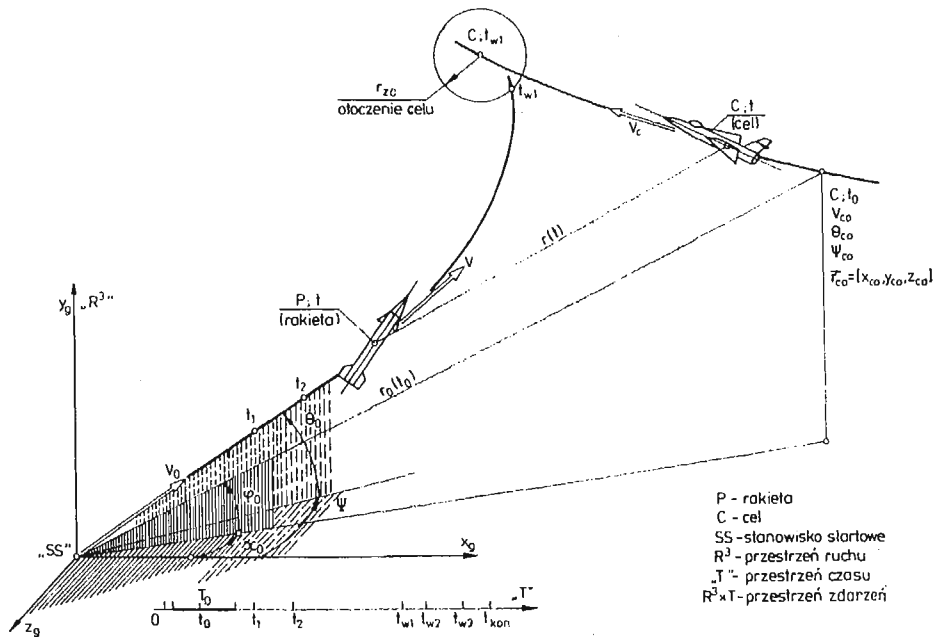
MODELOWANIE DYNAMIKI STEROWANEGO OBIEKTU LATAJĄCEGO KLASY ZIEMIA-POWIETRZE

JAN NICZYPORUK
ALEKSANDER WIELGUS

Wojskowa Akademia Techniczna

1. Wstęp

W celu zbadania zmiany konfiguracji obszarów startu rakiety w zależności od warunków początkowych i rodzaju manewru celu, rozpatrzono dynamikę systemu samonaprowadzania (rys. 1). System samonaprowadzania potraktowano jako układ dynamiczny [1], w którym sygnały wejściowe generuje manewrujący cel, a sygnały wyjściowe opisują sterowany ruch rakiety. Założono, że cel jest punktem materialnym o zadanej hipotezie

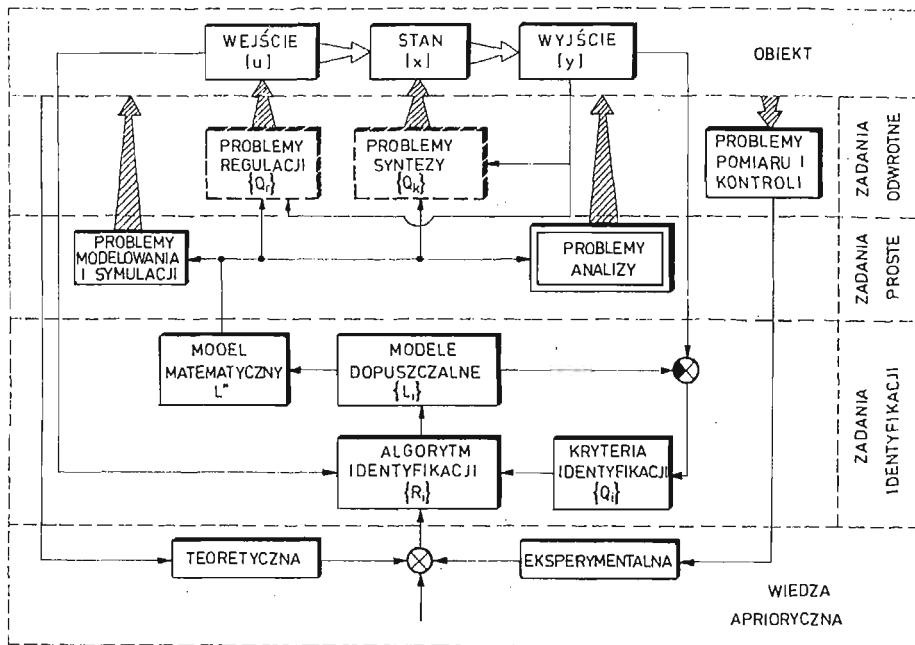


Rys. 1. Schemat procesu samonaprowadzania rakiety na cel.

przestrzennego ruchu, a rakieta samonaprowadzana jest układem o wielu stopniach swobody, wykonującym przestrzenny lot z więzami programowymi [2] w standardowej atmosferze. Modelowanie dynamiki systemu samonaprowadzania obejmuje klasę zagadnień prostych i odwrotnych, przedstawionych na schemacie rys. 2, który wyróżnia pięć warstw:

- warstwę obiektu czyli przedmiotu badań, jakim jest fizycznie istniejący system samonaprowadzania lub jego wzorzec;
- warstwę wiedzy apriorycznej teoretycznej i eksperymentalnej dotyczącej obiektu;
- warstwę identyfikacji tj. procedury uzyskania modelu matematycznego obiektu:

$$L^*[\bar{u}, \bar{x}, \bar{y}, \bar{z}, \bar{p}] = 0 \quad (1.1)$$



Rys. 2. Schemat formułowania problemów dynamicznych.

gdzie: L^* — operator modelu; \bar{u} — wektor wejść; \bar{x} — wektor stanu; \bar{y} — wektor wyjść; \bar{z} — wektor zakłóceń; \bar{p} — wektor parametrów;

- warstwę zagadnień prostych, w której wyróżniono analizę będącą przedmiotem szczegółowych rozważań;
- warstwę zagadnień odwrotnych, spośród których problemy syntezy i regulacji nie są rozpatrywane w niniejszej pracy.

2. Formułowanie dynamicznych zagadnień samonaprowadzania

W celu sformułowania zagadnień dynamicznych samonaprowadzania wyszczególnionych na rys. 2, do równania (1.1) obejmującego równania ruchu i więzów należy dołączyć warunki graniczne (początkowe i końcowe) oraz ograniczenia na wektor sterowań \bar{u} , stanu \bar{x} i wyjść \bar{y} .

W przestrzeni stanu $X_n \subset R^n$, równanie (1.1) można zapisać w postaci [2], [3], [4]:

$$\begin{aligned} \dot{x}_i &= f_i(x_1, x_2, \dots, x_n, u_1, u_2, \dots, u_r, t) \\ i &= 1, 2, \dots, n \end{aligned} \quad (2.1)$$

gdzie $\bar{x} = \text{col } [x_1, x_2, \dots, x_n]$, $\bar{u} = \text{col } [u_1, u_2, \dots, u_r]$,

$$u_i = u_i(t, x_1, x_2, \dots, x_n) \quad (2.2)$$

Specyfika pracy systemu samonaprowadzania wymaga formułowania warunków początkowych w zbiorze $\Omega_0 \subset X_n \times T \subset R^{n+1}$, co zapisujemy:

$$\begin{aligned} \bar{x}(t_0) &= \bar{x}_0 \in \Omega_0 = \{\bar{x}_0; x_{0i}(\text{var } t_0)\} \\ \text{var } t_0 &= \{t_0; t_{01} \leq t_0 \leq t_{02}\} \subset T \end{aligned} \quad (2.3)$$

Ograniczenia sterowań typu lokalnego i globalnego, wyznaczają zbiory sterowań dopuszczalnych:

$$\begin{aligned} U_1 &= \{\bar{u}: \max |u_i(t)| \leq M_1, \quad i = 1, 2, \dots, r\} \\ U_2 &= \left\{ \bar{u}: \sum_{i=1}^r |u_i(t)|^2 \leq M_2^2 \right\} \\ U_3 &= \left\{ \bar{u}: \int_{t_0}^{t_w} \sum_{i=1}^r |u_i(\tau)| d\tau \leq M_3 \right\} \\ U_4 &= \left\{ \bar{u}: \int_{t_0}^{t_w} \sum_{i=1}^r |u_i(\tau)|^2 d\tau \leq M_4^2 \right\} \end{aligned} \quad (2.4)$$

wynikające z ograniczenia odpowiednio: U_1 — składowych wektora sterowań; U_2 — mocy; U_3 — wydajności; U_4 — energii całkowitej źródła zasilania.

Ograniczenia określające zbiór stanów dopuszczalnych:

$$X_D = \{\bar{x}: \max |x_i(t)| \leq M_5, \max |\dot{x}_i(t)| \leq M_6\} \quad (2.5)$$

Ograniczenia określające zbiór dopuszczalnych wyjść:

$$Y_D = \left\{ \bar{y}: \begin{cases} \max |y_i| = n_i[\bar{x}(t)] \leq M_7, & i = 1, 2, 3 \\ \max |y_j| = h_j[x(t)] \leq M_8, & j = 1, 2, 3 \end{cases} \right\} \quad (2.6)$$

gdzie: n_i, h_i — składowe odpowiednio przeciążenia i przelotu chwilowego.

Relacje (2.1)–(2.6) stanowią zamknięty układ „danych wyjściowych” do formułowania, w zależności od etapu badań i potrzeb, zagadnień prostych i odwrotnych samonaprowadzania.

Na mocy (2.2) i (2.3) formuluje się postulat [2], że badanie dynamiki samonaprowadzania wymaga wprowadzenia abstrakcyjnych pojęć teorii pól orientorowych i w klasie tych pojęć należy interpretować rozwiązania zagadnień dynamicznych samonaprowadzania.

3. Sformułowanie zagadnienia analizy samonaprowadzania

Niech analiza dynamiki systemu samonaprowadzania polega na ilościowym i jakościowym badaniu równań stanu (2.1) dla zadanej struktury systemu. Efektem końcowym analizy będą obszary startu, samonaprowadzania i realizacji zadania. Ponieważ strukturę systemu, ruch celu i zakłócenia przyjmujemy za znane, to równania stanu (2.1) można zapisać w następującej formie wektorowej:

$$\dot{\bar{x}} = F(\bar{x}, t) \quad (3.1)$$

Poszukujemy więc takich rozwiązań równania (3.1), które spełniają warunki początkowe (2.3) i ograniczenia (2.4)÷(2.6), oraz dla $t \geq t_{w1}$ (rys. 1) mają punkty wspólne z otoczeniem celu Ω_c .

Otoczenie celu definiujemy jako zbiór (3.2) określony w przestrzeni $X_n \times T$, w którym spełnione są warunki wynikające z technicznych wymagań realizacji zadania samonaprowadzania:

$$\Omega_c = \{(\bar{x}, t) : |x_i| \leq a_i, b_i \leq |\dot{x}_i| \leq C_i; t \geq t_{w1}, i \leq n\} \quad (3.2)$$

Zbiór trajektorii stanu, które w czasie $t \geq t_{w1}$ osiągają punkty wspólne z otoczeniem celu Ω_c nazywamy obszarem samonaprowadzania Ω_{SN} . Natomiast zbiór Ω_{ST} warunków początkowych $\bar{x}_0 \in \Omega_{ST} \subset \Omega_0$ dla trajektorii z obszaru Ω_{SN} nazywamy obszarem startu lub obszarem dopuszczalnych warunków początkowych. Zbiór

$$\Omega_{RZ} = \Omega_c \cap \Omega_{SN} \neq \emptyset \quad (3.3)$$

będący niepustym przekrojem otoczenia celu i obszaru samonaprowadzania jest obszarem realizacji zadania. Posługując się wprowadzonymi pojęciami obszarów, możemy zagadnienie analizy sformułować następująco:

Dla zadanej hipotezy o ruchu celu, danych równań stanu (3.1), warunków (2.3)÷(2.6) i otoczenia celu (3.2) należy wyznaczyć Ω_{ST} , Ω_{SN} i Ω_{RZ} .

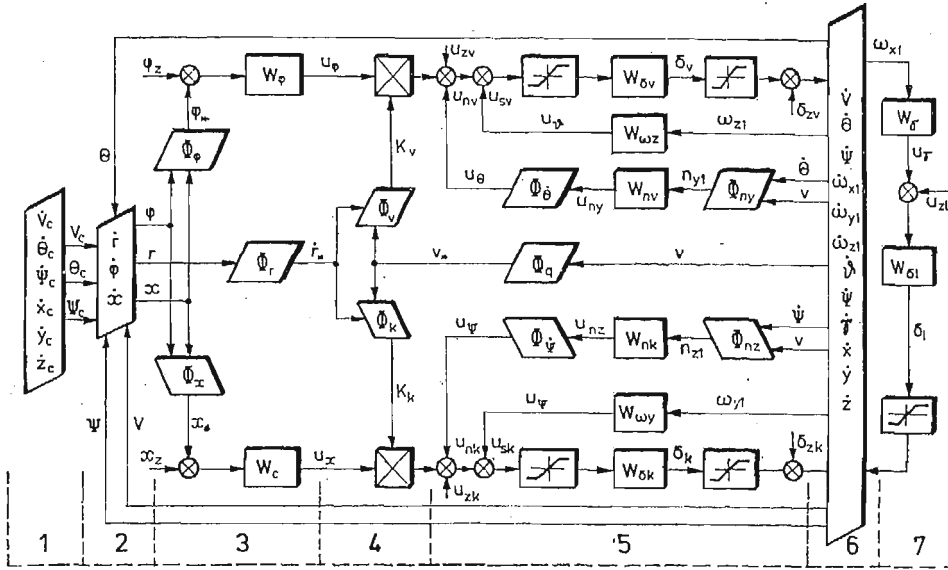
Zauważmy, że Ω_c , Ω_{SN} , Ω_{ST} i Ω_{RZ} zdefiniowane w przestrzeni $X_n \times T$ mają swoje obrazy w wybranej przestrzeni fizycznej. I tak w układzie startu x_g, y_g, z_g (rys. 1), otoczeniem celu jest tuba wyznaczona torem celu i promieniem r_{zc} , a obszarem samonaprowadzania tuba torów rakiety, mających przynajmniej jeden wspólny punkt z tubą celu. Obszarem startu i realizacji zadania odpowiadają tzw. strefy ataku (startu) i rażenia.

Jak wynika z powyższego, wyznaczenie stref startu i rażenia wymaga wcześniejszego określenia:

- struktury systemu i odpowiadającego jej modelu matematycznego w postaci np. równań stanu;
- hipotezy o ruchu celu i odpowiadających jej równań ruchu celu;
- zbioru ograniczeń nakładanych na system;
- algorytmu rozwiązania równań stanu, przy czym będzie to naogół algorytm rozwiązania numerycznego.

4. Struktura i model matematyczny hipotetycznego systemu samonaprowadzania

Załóżmy, że dana jest struktura hipotetycznego systemu samonaprowadzania przedstawiona na rys. 3. Rakieta (6), naprowadzana według metody proporcjonalnej nawigacji,



Rys. 3. Schemat strukturalny.

wyposażona jest w koordynator (3) śledzący za celem (1), układ formowania sygnałów naprowadzania (4) oraz w układy stabilizacji (5) i (7).

Dla celu traktowanego jako punkt materialny i wykonującego przestrzenny manewr przyspieszeniem otrzymujemy równania ruchu:

$$\begin{aligned} \dot{V}_c &= g \left\{ n_{xc}^0 \left[1 - e^{-\frac{1}{T_x}(t-t_{0x})} \right] \eta(t-t_{0x}) - \sin \theta_c \right\} \\ \dot{\theta}_c &= \frac{g}{v_c} \left\{ n_{yc}^0 \left[1 - e^{-\frac{1}{T_y}(t-t_{0y})} \right] \eta(t-t_{0y}) - \cos \theta_c \right\} \end{aligned} \quad (4.1)$$

$$\begin{aligned} \dot{\psi}_c &= \frac{g}{v_c \cos \theta_c} n_{zc}^0 \left[1 - e^{-\frac{1}{T_z}(t-t_{0z})} \right] \eta(t-t_{0z}) \\ \dot{x}_c &= v_c \cos \theta_c \cos \psi_c \\ \dot{y}_c &= v_c \sin \theta_c \\ \dot{z}_c &= -v_c \cos \theta_c \sin \psi_c \end{aligned} \quad (4.2)$$

gdzie: v_c, θ_c, ψ_c — moduł, kąt pochylenia i odchylenia wektora prędkości celu; $n_{xc}^0, n_{yc}^0, n_{zc}^0$ — maksymalne przeciążenia styczne, normalne i boczne; $\eta(t)$ — pseudofunkcja Heaviside'a; T_x, T_y, T_z — stałe czasowe; t_{0x}, t_{0y}, t_{0z} — czasy początku manewru; g — przyspieszenie ziemskie; x_c, y_c, z_c — współrzędne celu w układzie startowym.

Dla rakiety mamy [5]:

Równania ruchu translacyjnego w układzie semiprędkości:

$$\dot{V} = \frac{1}{m} \left(P \cos \alpha \cos \beta - \frac{\rho v^2}{2} S C_x - mg \sin \theta \right) \quad (4.3)$$

$$\begin{aligned}\dot{\Theta} &= \frac{1}{mv} \left[P(\sin \alpha \cos \gamma_v + \cos \alpha \sin \beta \sin \gamma_v) + \frac{\rho v^2}{2} S(C_{y_v} \cos \gamma_v - C_{z_v} \sin \gamma_v) - mg \cos \Theta \right] \\ \dot{\Psi} &= \frac{-1}{mv \cos \Theta} \left[P(\sin \alpha \sin \gamma_v - \cos \alpha \sin \beta \cos \gamma_v) + \right. \\ &\quad \left. + \frac{\rho v^2}{2} S(C_{y_k} \sin \gamma_v + C_{z_k} \cos \gamma_v) \right] \quad (4.3) \\ &\quad [cd]\end{aligned}$$

gdzie: V, Θ, Ψ — moduł, kąt pochylenia i odchylenia wektora prędkości; α, β, γ_v — kąt natarcia, ślizgu i przechylenia toru; P — ciężar; ρ — gęstość powietrza; S — powierzchnia charakterystyczna; $C_x, C_{y_v}, C_{y_k}, C_{z_v}, C_{z_k}$ — współczynniki sił aerodynamicznych; m — masa.

Równania ruchu obrotowego w układzie związanym z rakieta:

$$\begin{aligned}\dot{\omega}_{x1} &= \frac{1}{I_{y1}} \frac{\rho v^2}{2} S L m_x \\ \dot{\omega}_{y1} &= \frac{1}{I_{y1}} \left[\frac{\rho v^2}{2} S b m_y + (I_{z1} - I_{x1}) \omega_{z1} \omega_{x1} \right] \\ \dot{\omega}_{z1} &= \frac{1}{I_{z1}} \left[\frac{\rho v^2}{2} S b m_z + (I_{x1} - I_{y1}) \omega_{x1} \omega_{y1} \right] \quad (4.4)\end{aligned}$$

gdzie: $\omega_{x1}, \omega_{y1}, \omega_{z1}$ — prędkości kątowe; I_{x1}, I_{y1}, I_{z1} — główne centralne momenty bezwładności; m_x, m_y, m_z — współczynniki momentów aerodynamicznych; L, b — długość i średnia cięciwa aerodynamiczna.

Równania kinematyczne ruchu obrotowego i translacyjnego:

$$\begin{aligned}\dot{\vartheta} &= \omega_{y1} \sin \gamma + \omega_{z1} \cos \gamma \\ \dot{\psi} &= \frac{1}{\cos \vartheta} (\omega_{y1} \cos \gamma - \omega_{z1} \sin \gamma) \\ \dot{\gamma} &= \omega_{x1} - \operatorname{tg} \vartheta (\omega_{y1} \cos \gamma - \omega_{z1} \sin \gamma) \\ \dot{x}_g &= v \cos \Theta \cos \Psi \\ \dot{y}_g &= v \sin \Theta \\ \dot{z}_g &= -v \cos \Theta \sin \Psi \quad (4.5) \\ &\quad (4.6)\end{aligned}$$

gdzie: ϑ, ψ, γ — kąt pochylenia, odchylenia i przechylenia rakiety; x_g, y_g, z_g — współrzędne środka masy rakiety.

Równania kinematyczne ruchu względnego rakiety i celu (członu kinematycznego (2) na rys. 3):

$$\begin{aligned}\dot{r} &= v_c [\cos \Theta_c \cos(\Psi_c - \chi) \cos \varphi + \sin \Theta_c \sin \varphi] - v [\cos \Theta \cos(\Psi - \chi) \cos \varphi + \sin \Theta \sin \varphi] \\ \dot{\varphi} &= \frac{1}{r} \{ v_c [\sin \Theta_c \cos \varphi - \cos \Theta_c \cos(\Psi_c - \chi) \sin \varphi] + v [\cos \Theta \cos(\Psi - \chi) \sin \varphi - \sin \Theta \cos \varphi] \} \\ \dot{\chi} &= \frac{1}{r \cos \varphi} [v_c \cos \Theta_c \sin(\Psi_c - \chi) - v \cos \Theta \sin(\Psi - \chi)] \quad (4.7)\end{aligned}$$

gdzie: r, φ, χ — moduł, kąt pochylenia i odchylenia promienia wektora \vec{PC} (rys. 1).

Kąty α, β, γ_v spełniają związki geometryczne [5], które zapiszemy ogólnie $\alpha = \alpha(\vartheta, \psi, \gamma, \Theta, \Psi)$, $\beta = \beta(\vartheta, \psi, \gamma, \Theta, \Psi)$, $\gamma_v = \gamma_v(\vartheta, \psi, \gamma, \Psi)$.

Równania koordynatora:

$$\begin{aligned}\dot{U}_\varphi &= a_{11}(\varphi_* - \varphi_k) - b_{11} U_\varphi; & \dot{\varphi}_k &= k_1 U_\varphi \\ \dot{U}_x &= a_{12}(\chi_* - \chi_k) - b_{12} U_x; & \dot{\chi}_k &= k_2 U_x \\ \dot{U}_r &= a_{13}(r_* - r_k) - b_{13} U_r; & \dot{r}_k &= k_3 U_r\end{aligned}\quad (4.8)$$

gdzie: U_φ, U_x, U_r — sygnały napięciowe na wyjściu z koordynatora, proporcjonalne w stanie ustalonym do $\dot{\varphi}_*, \dot{\chi}_*$ i \dot{r}_* ; a_{ij}, b_{ij}, k_i — parametry konstrukcyjne.

Równania czujników przeciążeń (człony W_{nv} i W_{nk} na rys. 3) i czujników prędkości kątowych (człony $W_{\omega z}$, $W_{\omega y}$ i W_γ na rys. 3):

$$\begin{aligned}\dot{U}_{nx} &= a_{21} U_{nx} + b_{21} n_{x1}; & \dot{U}_\vartheta &= a_{31} U_\vartheta + b_{31} \omega_{z1} \\ \dot{U}_{ny} &= a_{22} U_{ny} + b_{22} n_{y1}; & \dot{U}_\psi &= a_{32} U_\psi + b_{32} \omega_{y1} \\ \dot{U}_{nz} &= a_{23} U_{nz} + b_{23} n_{z1}; & \dot{U}_\gamma &= a_{33} U_\gamma + b_{33} \omega_{x1}\end{aligned}\quad (4.9)$$

gdzie: n_{x1}, n_{y1}, n_{z1} — składowe przeciążenia w związanym układzie współrzędnych; U_{nx}, U_{ny}, U_{nz} — odpowiadające przeciążeniom napięcia; $U_\vartheta, U_\psi, U_\gamma$ — napięcia odpowiadające prędkościom kątowym.

Równania napędów sterów (człony $W_{\delta v}, W_{\delta k}, W_{\delta l}$ na rys. 3):

$$\begin{aligned}\dot{\delta}_v &= a_{41} \delta_v + b_{41} U_{sv} \\ \dot{\delta}_k &= a_{42} \delta_k + b_{42} U_{sk} \\ \dot{\delta}_l &= a_{43} \delta_l + b_{43} U_{sl}\end{aligned}\quad (4.10)$$

gdzie: $\delta_l, \delta_k, \delta_v$ — kąty wychylenia sterów; U_{sv}, U_{sk}, U_{sl} — sygnały błędów naprowadzania dla metody proporcjonalnej nawigacji i danego (na rys. 3) układu stabilizacji:

$$\begin{aligned}U_{sv} &= K_v U_\varphi + U_{zv} - \Phi_\vartheta U_{ny} - U_\vartheta \\ U_{sk} &= K_k U_x + U_{zk} - \Phi_\psi U_{nz} - U_\psi \\ U_{sl} &= U_\gamma + U_{zl}\end{aligned}\quad (4.11)$$

Równania (4.1)÷(4.11) przedstawiają zamknięty układ równań stanu układu samonaprowadzania o danej na rys. 3 strukturze. Funkcje Φ_i uwzględniają transformacje układów współrzędnych, sprzężenia skrośne, adaptacyjność metody naprowadzania i są znane. Np. dla rakiety stabilizowanej w kącie przechylenia ($\gamma = 0$) oraz dla idealnego pomiaru prędkości lotu ($v_* = v$) i prędkości zbliżania ($\dot{r} = \dot{r}_*$) otrzymujemy:

$$\begin{aligned}K_v &= \Phi_v(r, v, \Theta, \varphi) = \frac{N_v |\dot{r}|}{v \cos(\Theta - \varphi)} \\ K_k &= \Phi_k(r, v, \psi, \chi) = \frac{N_k |\dot{r}|}{v \cos(\Psi - \chi)} \\ \Phi_\varphi &= \Phi_x = \Phi_r = \Phi_a = 1 \\ n_{y1} &\approx \Phi_{ny}(\Theta, v, \alpha) = \frac{1}{g} (r\dot{\Theta} + g \cos\Theta - \dot{v} \sin\alpha)\end{aligned}\quad (4.12)$$

$$n_{z1} \approx \Phi_{nz}(\Psi, v, \beta, \Theta) = \frac{1}{g} (v\dot{\Psi} \cos\Theta - v \cos\beta) \quad (4.12)$$

[cd]

$$\Phi_{\dot{\theta}} = \Phi_{\dot{\psi}} \approx \frac{1}{v}$$

W układzie samonaprowadzania występują ograniczenia typu nasycenie dla kątów śledzenia koordynatora, kątów wychylenia sterów, przeciążeń i inne (niektóre ograniczenia zaznaczono na rys. 3). Równania (4.1)÷(4.10), relacje (4.11) i (4.12) oraz ograniczenia przedstawiają model matematyczny systemu samonaprowadzania o strukturze pokazanej na rys. 3.

5. Obszary startu

Obszary startu wyznaczono całkując równania stanu systemu naprowadzania (4.1)÷(4.10) na EMC Odra-1305 metodą Mersona. W celu zbadania oraz ilustracji interesującego zjawiska ewolucji obszarów startowych kątów wyprzedzenia η_0 w funkcji współrzędnej x_c dla $y_c = \text{const}$ (obszary te dalej nazywane są przekrojami $\eta_0(x_c)$ strefy startu) i wyjaśnienia topologii strefy startu, przedstawiono na rys. 4÷9 wybrane wyniki obliczeń numerycznych dla danych:

1. Cel wykonuje lot poziomy przy zerowym parametrze, ze stałą prędkością i jest atakowany z przedniej półsfery. Liczbowe wartości parametrów lotu celu podaje tabela:

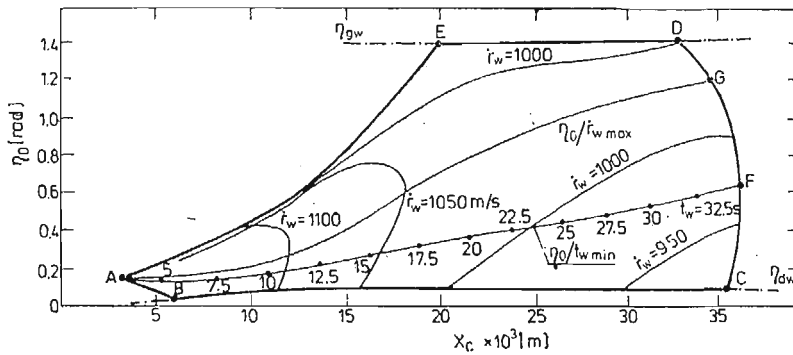
Tabela 1

y_c [m]	300	2500	5000	15 000	25 000
v_c [m/s]	350	435	470	500	500
Nr rys.	4	5	6	7	8

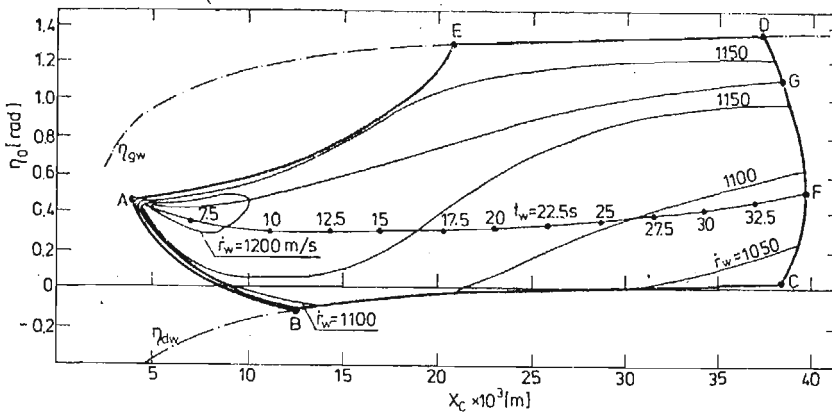
2. Geometrię rakiety w układzie „kaczka” charakteryzują: średnica kadłuba 0,33 m; długość kadłuba 5,6 m; powierzchnia skrzydła 0,92 m²; średnia cięciwa aerodynamiczna skrzydła 0,78 m.
3. Rakieta wyposażona jest w dwustopniowy układ napędowy, każdy o stałym ciągu: $P_1 = 850$ kN, $P_2 = 7,6$ kN. Masa rakiety maleje z czasem liniowo, od wartości początkowej $m_0 = 578$ kg.
4. System sterowania rakiety zawiera idealne człony pomiarowe i napęd sterów, układ ograniczenia dopuszczalnych przeciążeń oraz adaptacyjny układ formowania sygnałów naprowadzania według metody proporcjonalnej nawigacji.
5. Start rakiety odbywa się z prędkością początkową $v_0 = 41$ m/s z wyrzutni ograniczającej startowe kąty wyprzedzenia od góry ($\eta_0 \leq \eta_{gw}$) i od dołu ($\eta_0 \geq \eta_{dw}$), przy czym maksymalny kąt podniesienia wyrzutni przyjęto 80°, a minimalny 5°.
6. Lot rakiety odbywa się bez zakłóceń z dopuszczalnym przeciążeniem normalnym 10.

7. Algorytm obliczeń uwzględnia zmianę gęstości powietrza i prędkości dźwięku z wysokością, zależność współczynników aerodynamicznych od liczby Macha i transformację pochodnych aerodynamicznych względem aktualnego położenia środka masy w danej chwili lotu.

Uzyskane dla powyższych danych wykresy przekrojów $\eta_0(x_c)$ (rys. 4÷8) wskazują, że występujące ograniczenia: maksymalnego czasu trwania lotu $t_{wmax} = 35s$, kątów startowego wyprzedzenia $\eta_{dw} \leq \eta_0 \leq \eta_{gw}$ i wymaganie pozytywnej realizacji procesu wyrażone warunkami $\dot{r}_w \geq 0$ i $r_p \leq r_{zc}$ (gdzie $\dot{r}_w = \dot{r}(t_{w1})$, r_p — przelot) ingerują bardzo silnie w konfigurację tych przekrojów i różnie, w zależności od wysokości y_c .



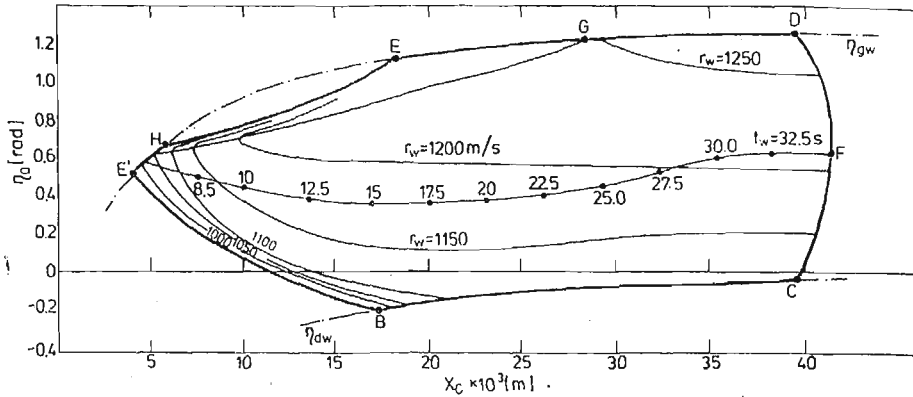
Rys. 4. Przekrój strefy startu $y_c = 300$ m.



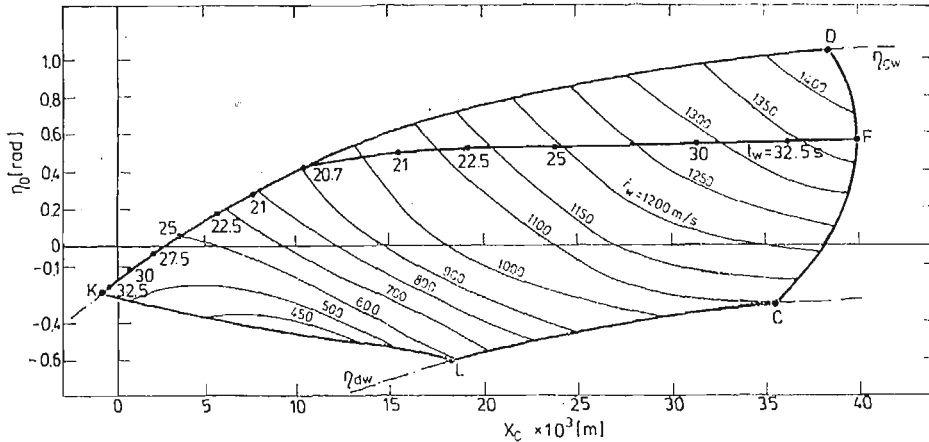
Rys. 5. Przekrój strefy startu $y_c = 2500$ m.

I tak dla małych wysokości $y_c \leq 3000$ m (rys. 4 i 5) przekrój $\eta_0(x_c)$ wyznaczają odcinki linii: AB i EA o własnościach $\dot{r}_w = 0$ i $r_p = r_{zc}$; BC o własności $\eta_0 = \eta_{dw}$; CD o własności $t_{w1} = t_{wmax}$ oraz DE o własności $\eta_0 = \eta_{gw}$. Punktom przecięcia linii ograniczających pole przekroju $\eta_0(x_c)$ można przypisać własność podwójnego ograniczania: A — \dot{r}_w/\dot{r}_w ; B — \dot{r}_w/η_{dw} ; C — η_{dw}/t_{wmax} ; D — t_{wmax}/η_{gw} i E — η_{gw}/\dot{r}_w . Linie AF i AG wyznaczają odpowiednio kąty η_0 o najkrótszym czasie wejścia t_{wmin} i maksymalnej prędkości wejścia r_{wmax} . Pola przekrojów zostały sparаметryzowane liniami $\dot{r}_w = const$.

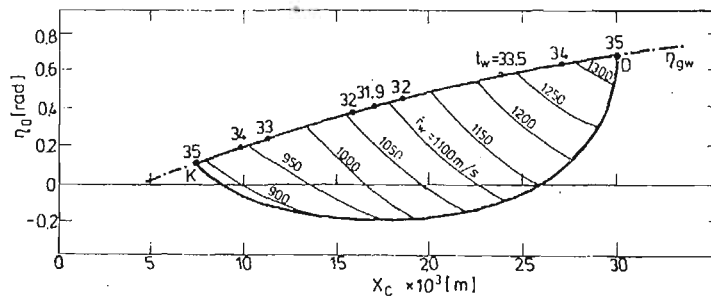
W przedziale wysokości $y_c = 4500 \div 7000$ m występują dwa odcinki linii ograniczenia η_{gw} (E'H i ED rys. 6), a nowy punkt podwójnego ograniczenia H jest typu \dot{r}_w/η_{gw} . Ze wzrostem wysokości punkty H i E zbliżają się do siebie i powyżej wysokości dla której $H = E$ ($y_c \approx 13\,500$ m) górny brzeg przekroju $\eta_0(x_c)$ stanowi linia η_{gw} (rys. 7 i 8). Sytuacja taka ma miejsce aż do pułapu (punkt P na rys. 9).



Rys. 6. Przekrój strefy startu $y_c = 5000$ m.

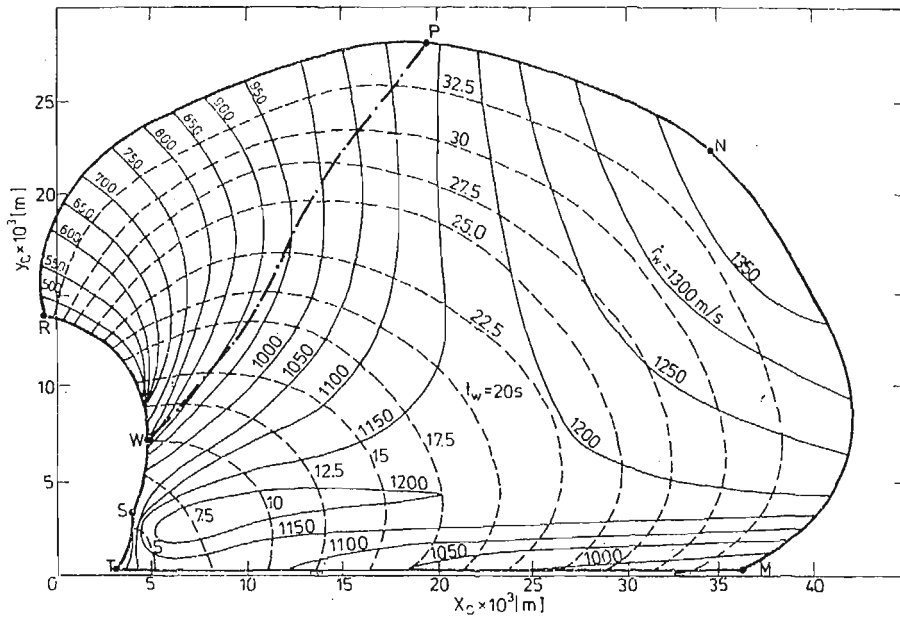


Rys. 7. Przekrój strefy startu $y_c = 15\,000$ m.



Rys. 8. Przekrój strefy startu $y_c = 25\,000$ m.

Przy $y_c > 12\ 000$ m, w linii ograniczającej przekrój $\eta_0(x_c)$ od dołu pojawia się odcinek ograniczenia maksymalnego czasu lotu (dla małych, a nawet ujemnych x_c), zawarty między punktami K i L (rys. 7) typu η_{0w}/t_{wmax} i t_{wmax}/η_{dw} odpowiednio. Linia KL rozbudowuje się ze wzrostem wysokości i dla y_c bliskich pułapowi stanowi wyłączne ograniczenie przekroju $\eta_0(x)$ od dołu (rys. 8).



Rys. 9. Strefa startu.

Strefę startu (rys. 9) wyznaczają punkty skrajne (A i F, E' i F, K i F, K i D) przekrojów $\eta_0(x_c)$. Dlatego poszczególne odcinki brzegu strefy startu MN, NP, PR, RS i ST mają własności odpowiednio punktów F, D, K, E' i A. Odcinek TM odpowiada y_{cmin} . Krzywa WP wyznacza warunki startu przy których $t_{w1} = t_{wmin}$ tj. czas realizacji zadania jest najkrótszy. Strefę sparametryzowano liniami $v_w = \text{const}$ i $t_w = \text{const}$, co daje pełniejszy obraz jej topologii.

Ocena wpływu innych ograniczeń i czynników, ujętych w opracowanym modelu matematycznym systemu samonaprowadzania, na konfigurację strefy startu jest przedmiotem badań autorów.

Literatura

1. Л. Г. Евлянов, *Контроль динамических систем*, Наука, Москва 1972.
2. S. DUBIEL, *Więzy uogólnione i ich zastosowanie do badania sterowności obiektów latających*. Dodatek do Biuletynu WAT, 256, Warszawa 1973.
3. J. MARYNIAK, *Dynamiczna teoria obiektów ruchomych*, Prace naukowe — Mechanika Nr 32, Politechnika Warszawska, Warszawa 1975.
4. R. GUTOWSKI, *Mechanika analityczna*, PWN, Warszawa 1971.
5. З. И. Кринецкий, *Системы самонаведения*. Машиностроение, Москва 1970.

Резюме

МОДЕЛИРОВАНИЕ ДИНАМИКИ УПРАВЛЯЕМОГО ЛЕТАЮЩЕГО ОБЪЕКТА КЛАССА
ЗЕМЛЯ-ВОЗДУХ

В работе рассмотрены некоторые вопросы динамики системы самонаведения зенитной ракеты на воздушную цель. Определено множество динамических задач самонаведения, а также подробно исследовано задачу анализа системы с известной структурой. Для этой системы построена математическая модель и численно определены зоны пуска.

Summary

MODELLING OF THE DYNAMICS OF A MANOEUVERING AIRCRAFT UNDER CONTROL

Selected problems of the dynamics of target-homing system on the manoeuvring aircraft are considered. The set of the dynamical target-homing problems have been defined. The analysis problem of the system with known structure has been studied in details.

Mathematical model has been formulated and the lift-off regions have been determined by means of the digital simulation.

Praca wpłynęła do Redakcji dnia 14 kwietnia 1986 roku.